

# Релятивистская кинематика электромагнитных полей волноводной моды

Л.А.Ривлин

*Показано, что при наблюдении волны в волноводе из сопровождающей системы отсчета, перемещающейся со скоростью, равной групповой скорости волны, происходит остановка распространения волны и содержащаяся в волноводе электромагнитная энергия оказывается неподвижной. Эквивалентом этой покоящейся энергии является ненулевая масса покоя фотонов в волноводе, совпадающая с той, что проявляется в динамических экспериментах.*

**Ключевые слова:** преобразование Лоренца, волноводная мода, покоящаяся энергия.

## Введение

Все без исключения реально существующие в природе электромагнитные поля в большей или меньшей мере отличаются от идеального, никогда не реализуемого образа неограниченной плоской волны. Наглядными примерами могут служить поля излучения диполя и дифракции на щели, квазигауссов пучок лазера, поле волноводной моды и др. В противоположность идеальной плоской волне все эти поля обладают стоячей составляющей и продольными компонентами электрического и магнитного векторов, групповой скоростью, уступающей скорости света  $c$  в свободном пространстве, дисперсией, дефектом импульса и т. п. Фотонам, представляемым такими реальными полями, удастся приписать массоподобную величину  $M > 0$ , которая в различных мысленных динамических экспериментах с ускоренным движением проявляет признаки, неотличимые от признаков инертной и гравитационной массы покоя обычных массивных тел (см. обзор [1] и ссылки на оригинальные работы в нем).

Оказывается, что массоподобное поведение фотонов реально существующих полей проявляется и при применении к ним стандартных преобразований специальной теории относительности, т. е. в чисто кинематическом эксперименте, отличающемся от динамических задач [1]. Очевидно, что для обнаружения свойств, присущих массе покоя, следует попросту остановить исследуемый объект, т. е. наблюдать его в сопровождающей системе координат, где его относительная скорость равна нулю. Такая попытка применительно к фотону не представляется невозможной, поскольку, как отмечено выше, в реальных волновых полях групповая скорость транспортировки электромагнитной энергии, отождествляемая со скоростью фотонов, уступает скорости света в свободном пространстве  $c$ .

## 1. Двумерная потенциальная яма бесконечной глубины для фотонов (металлический волновод)

Наиболее удобной для анализа моделью в силу простоты своих граничных условий может служить электромагнитное поле в двумерной потенциальной яме бесконечной глубины для фотонов, т. е. мода полого металлического волновода. Как известно [2], поле моды такого волновода произвольного сечения (рис.1) состоит из бегущих волн

$$\mathbf{E}(x, y, z, t) = \mathbf{e}(x, y) \exp[i(\omega t - kz)], \quad (1)$$

$$\mathbf{H}(x, y, z, t) = \mathbf{h}(x, y) \exp[i(\omega t - kz)]$$

с поперечными собственными функциями  $\mathbf{e}(x, y)$  и  $\mathbf{h}(x, y)$  и собственными значениями (критическими частотами)  $\omega_{nm}$  с целочисленными индексами  $n$  и  $m$ , где  $\omega$  – частота;

$$k = \frac{\omega}{c} \left[ 1 - \left( \frac{\omega_{nm}}{\omega} \right)^2 \right]^{1/2} \quad (2)$$

– постоянная распространения;  $x, y$  – поперечные координаты;  $t$  – время. При этом фазовая скорость волны вдоль продольной оси  $z$

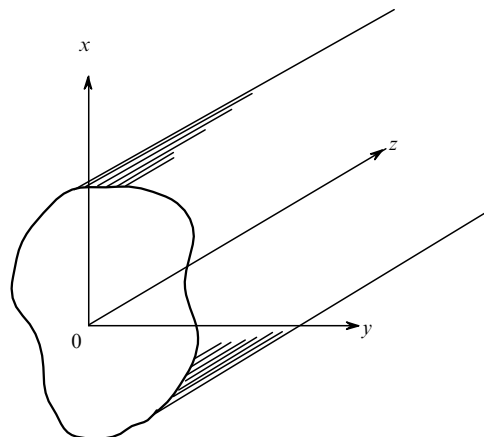


Рис.1.

$$v = \frac{\omega}{k} = c \left[ 1 - \left( \frac{\omega_{nm}}{\omega} \right)^2 \right]^{-1/2} > c, \quad (3)$$

а групповая скорость транспортировки электромагнитной энергии и продольного перемещения фотонов по волноводу

$$u = \frac{d\omega}{dk} = c \left[ 1 - \left( \frac{\omega_{nm}}{\omega} \right)^2 \right]^{1/2} < c. \quad (4)$$

Собственные значения и постоянные распространения связаны с частотой волны дисперсионным соотношением

$$\omega^2 = \omega_{nm}^2 + (ck)^2, \quad (5)$$

а поперечные компоненты собственных функций  $e_x$ ,  $e_y$ ,  $h_x$  и  $h_y$  выражаются через пространственные производные продольных компонент  $e_z$  и  $h_z$ :

$$\begin{aligned} e_x &= -i \left( \frac{c}{\omega_{nm}} \right)^2 \left( k \frac{\partial e_z}{\partial x} + \mu_0 \omega \frac{\partial h_z}{\partial y} \right), \\ e_y &= -i \left( \frac{c}{\omega_{nm}} \right)^2 \left( k \frac{\partial e_z}{\partial y} - \mu_0 \omega \frac{\partial h_z}{\partial x} \right), \\ h_x &= -i \left( \frac{c}{\omega_{nm}} \right)^2 \left( k \frac{\partial h_z}{\partial x} - \varepsilon_0 \omega \frac{\partial e_z}{\partial y} \right), \\ h_y &= -i \left( \frac{c}{\omega_{nm}} \right)^2 \left( k \frac{\partial h_z}{\partial y} + \varepsilon_0 \omega \frac{\partial e_z}{\partial x} \right), \end{aligned} \quad (6)$$

где  $\mu_0$  и  $\varepsilon_0$  – магнитная и диэлектрическая проницаемости вакуума. В свою очередь продольные компоненты  $e_z$  и  $h_z$  являются решениями уравнений

$$\begin{aligned} \nabla_{\perp} e_z + \left( \frac{\omega_{nm}}{c} \right)^2 e_z &= 0, \\ \nabla_{\perp} h_z + \left( \frac{\omega_{nm}}{c} \right)^2 h_z &= 0 \end{aligned} \quad (7)$$

с граничными условиями на поверхности металла ( $\nabla_{\perp}$  – оператор Лапласа по поперечным координатам  $x$  и  $y$ ).

В зависимости от направления вектора поляризации существуют два типа решений: решения для ТМ-поляризации, когда  $h_z = 0$ , и решения для ТЕ-поляризации, когда  $e_z = 0$ , чему отвечает соответствующее упрощение системы (6) с одночленными правыми частями.

Продольная составляющая вектора Пойнтинга вдоль оси  $z$  волновода

$$\begin{aligned} P &= \left( \frac{c}{\omega_{nm}} \right)^2 \left( \frac{\omega}{\omega_{nm}} \right)^2 \left\{ \left[ 1 + \left( \frac{u}{c} \right)^2 \right] \left( \frac{\partial e_z}{\partial x} \frac{\partial h_z}{\partial y} - \frac{\partial e_z}{\partial y} \frac{\partial h_z}{\partial x} \right) + \right. \\ &\left. \sqrt{\frac{\varepsilon_0}{\mu_0}} \frac{u}{c} \left[ \left( \frac{\partial e_z}{\partial x} \right)^2 + \left( \frac{\partial e_z}{\partial y} \right)^2 \right] + \sqrt{\frac{\mu_0}{\varepsilon_0}} \frac{u}{c} \left[ \left( \frac{\partial h_z}{\partial x} \right)^2 + \left( \frac{\partial h_z}{\partial y} \right)^2 \right] \right\} \end{aligned} \quad (8)$$

или для ТМ- и ТЕ-поляризации соответственно

$$P_{\text{ТМ}} = \sqrt{\frac{\varepsilon_0}{\mu_0}} \left( \frac{c}{\omega_{nm}} \right)^2 \frac{u/c}{1 - (u/c)^2} \left[ \left( \frac{\partial e_z}{\partial x} \right)^2 + \left( \frac{\partial e_z}{\partial y} \right)^2 \right], \quad (9)$$

$$P_{\text{ТЕ}} = \sqrt{\frac{\mu_0}{\varepsilon_0}} \left( \frac{c}{\omega_{nm}} \right)^2 \frac{u/c}{1 - (u/c)^2} \left[ \left( \frac{\partial h_z}{\partial x} \right)^2 + \left( \frac{\partial h_z}{\partial y} \right)^2 \right]. \quad (10)$$

В металлическом волноводе набор массоподобных величин  $M$  однозначно определяется собственными значениями (критическими частотами)  $\omega_{nm}$  [1, 2]:

$$M = \frac{\hbar \omega_{nm}}{c^2}, \quad (11)$$

а полная масса покоя всех фотонов моды с индексами  $nm$

$$M(N+1) = \frac{\hbar \omega_{nm}}{c^2} (N+1), \quad (12)$$

где  $N$  – фотонное число заполнения моды, а единица ( $1 = 1/2 + 1/2$ ) отражает вклад нулевых квантовых вакуумных флуктуаций обоих направлений распространения.

## 2. Релятивистское преобразование частоты и постоянной распространения

Рассмотрим, что происходит с частотой и постоянной распространения волны, заданных в лабораторной системе отсчета, при переходе в другую инерциальную систему, перемещающуюся вдоль оси  $z$  со скоростью  $c\beta$ . Стандартный релятивистский вывод формулы эффекта Доплера основан на постулате инвариантности фазы волны  $\varphi = \omega t - kz = \text{const}$  в разных инерциальных системах координат. Подставляя в формулу для  $\varphi$  соотношения

$$t = \frac{t' + \beta z'/c}{\sqrt{1 - \beta^2}}, \quad z = \frac{z' + c\beta t'}{\sqrt{1 - \beta^2}}, \quad (13)$$

выраженные через лоренц-преобразованные штрихованные координаты движущейся системы, нетрудно получить соотношение для фазы в штрихованной системе:

$$\varphi = \omega \frac{1 - c\beta k/\omega}{\sqrt{1 - \beta^2}} t' - k \frac{1 - \beta\omega/ck}{\sqrt{1 - \beta^2}} z', \quad (14)$$

где множители перед  $t'$  и  $z'$  суть частота  $\omega'$  и постоянная распространения  $k'$  в движущейся системе, а вторые члены в числителях преобразуются с помощью (4) и дисперсионного соотношения (5), так что

$$\omega' = \omega \frac{1 - \beta \left[ 1 - (\omega_{nm}/\omega)^2 \right]^{1/2}}{\sqrt{1 - \beta^2}} = \omega \frac{1 - \beta(u/c)}{\sqrt{1 - \beta^2}}, \quad (15)$$

$$k' = k \frac{1 - \beta \left[ 1 - (\omega_{nm}/\omega)^2 \right]^{-1/2}}{\sqrt{1 - \beta^2}} = k \frac{1 - \beta(c/u)}{\sqrt{1 - \beta^2}}. \quad (16)$$

Выражение (15) есть ничто иное как формула для эффекта Доплера в волноводе, демонстрирующая ожидаемую зависимость частоты от относительной скорости источника и приемника.

Из (15) и (16) проистекают замечательные следствия. Если скорость перемещения штрихованной системы  $c\beta$  совпадает с групповой скоростью волны  $u$  в лабораторной системе отсчета (что возможно в силу того, что  $u < c$ ), то

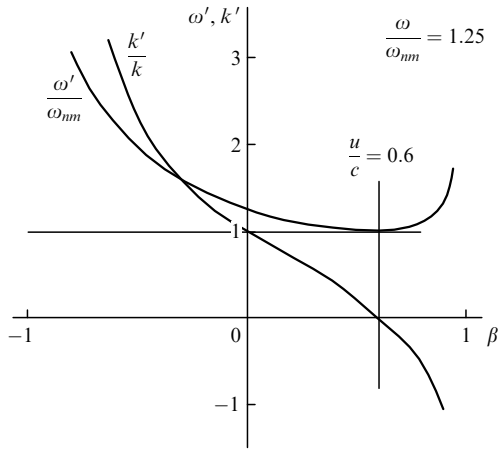


Рис.2.

$$\omega' = \omega_{nm} = \omega \sqrt{1 - \beta^2} \quad (17)$$

и

$$k' = 0, \quad u' = 0. \quad (18)$$

Последнее означает, что в штрихованной системе волна *останавливается* и транспортировка электромагнитной энергии прекращается (чего и следовало ожидать, поскольку  $c\beta = u$ ), бегущая составляющая волны исчезает вовсе и сохраняется лишь поперечная стоячая составляющая с частотой  $\omega'$  (17), отвечающей поперечному эффекту Доплера второго порядка. В этой *остановленной* световой волне аккумулирована *покоящаяся* электромагнитная энергия  $N\hbar\omega_{nm}$ , или, иными словами, содержатся  $N$  *остановленных* фотонов, каждый с энергией  $\hbar\omega' = \hbar\omega_{nm}$ , равной энергии кванта собственной (критической) частоты волноводной моды. В соответствии с принципом эквивалентности от *покоящейся* энергии фотона  $\hbar\omega_{nm}$  лишь один шаг до неподвижной массы (11), которая в точности совпадает с ненулевой массой *покоя* фотона, обнаруживаемой в серии динамических экспериментов [1].

При дальнейшем увеличении скорости перемещения штрихованной системы отсчета ( $c\beta > u$ ) происходит обращение направления распространения волны ( $k' < 0$ ) и возрастание ее частоты  $\omega'$  (рис.2).

### 3. Релятивистские преобразования векторов поля

При переходе в движущуюся штрихованную систему координат векторы поля также подлежат трансформации. При этом продольные компоненты векторов поля остаются неизменными ( $e'_z = e_z$ ,  $h'_z = h_z$ ), а поперечные трансформируются по известным релятивистским правилам:

$$\begin{aligned} e'_x &= (1 - \beta^2)^{-1/2} (e_x - \sqrt{\mu_0/\epsilon_0} \beta h_y), \\ e'_y &= (1 - \beta^2)^{-1/2} (e_y + \sqrt{\mu_0/\epsilon_0} \beta h_x), \\ h'_x &= (1 - \beta^2)^{-1/2} (h_x + \sqrt{\epsilon_0/\mu_0} \beta e_y), \\ h'_y &= (1 - \beta^2)^{-1/2} (h_y - \sqrt{\epsilon_0/\mu_0} \beta e_x) \end{aligned} \quad (19)$$

или с учетом (6)

$$\begin{aligned} e'_x &= -i \frac{c}{\omega_{nm}} \frac{\omega}{\omega_{nm}} (1 - \beta^2)^{-1/2} \left[ \left( \frac{u}{c} - \beta \right) \frac{\partial e_z}{\partial x} \right. \\ &\quad \left. + \sqrt{\frac{\mu_0}{\epsilon_0}} \left( 1 - \beta \frac{u}{c} \right) \frac{\partial h_z}{\partial y} \right], \\ e'_y &= -i \frac{c}{\omega_{nm}} \frac{\omega}{\omega_{nm}} (1 - \beta^2)^{-1/2} \left[ \left( \frac{u}{c} - \beta \right) \frac{\partial e_z}{\partial y} \right. \\ &\quad \left. - \sqrt{\frac{\mu_0}{\epsilon_0}} \left( 1 - \beta \frac{u}{c} \right) \frac{\partial h_z}{\partial x} \right], \\ h'_x &= -i \frac{c}{\omega_{nm}} \frac{\omega}{\omega_{nm}} (1 - \beta^2)^{-1/2} \left[ \left( \frac{u}{c} - \beta \right) \frac{\partial h_z}{\partial x} \right. \\ &\quad \left. - \sqrt{\frac{\epsilon_0}{\mu_0}} \left( 1 - \beta \frac{u}{c} \right) \frac{\partial e_z}{\partial y} \right], \\ h'_y &= -i \frac{c}{\omega_{nm}} \frac{\omega}{\omega_{nm}} (1 - \beta^2)^{-1/2} \left[ \left( \frac{u}{c} - \beta \right) \frac{\partial h_z}{\partial y} \right. \\ &\quad \left. + \sqrt{\frac{\epsilon_0}{\mu_0}} \left( 1 - \beta \frac{u}{c} \right) \frac{\partial e_z}{\partial x} \right]. \end{aligned} \quad (20)$$

Отсюда составляющая вектора Пойнтинга, характеризующая плотность потока электромагнитной энергии вдоль оси волновода  $z'$  в штрихованной системе отсчета,

$$\begin{aligned} P' &= \left( \frac{c}{\omega_{nm}} \frac{\omega}{\omega_{nm}} \right)^2 (1 - \beta^2)^{-1/2} \left\{ \left[ \left( 1 - \beta \frac{u}{c} \right)^2 \right. \right. \\ &\quad \left. \left. + \left( \frac{u}{c} - \beta \right)^2 \right] + \left( \frac{\partial e_z}{\partial x} \frac{\partial h_z}{\partial y} - \frac{\partial e_z}{\partial y} \frac{\partial h_z}{\partial x} \right) \right. \\ &\quad \left. + \left( \frac{u}{c} - \beta \right) \left( 1 - \beta \frac{u}{c} \right) \left[ \sqrt{\frac{\epsilon_0}{\mu_0}} \left[ \left( \frac{\partial e_z}{\partial x} \right)^2 \right. \right. \right. \\ &\quad \left. \left. + \left( \frac{\partial e_z}{\partial y} \right)^2 \right] + \sqrt{\frac{\mu_0}{\epsilon_0}} \left[ \left( \frac{\partial h_z}{\partial x} \right)^2 + \left( \frac{\partial h_z}{\partial y} \right)^2 \right] \right] \right\}, \end{aligned} \quad (21)$$

что с учетом (10) для ТМ- и ТЕ-поляризации соответственно дает

$$P'_{\text{ТМ}} = \left( 1 - \beta \frac{u}{c} \right) \left( 1 - \beta \frac{c}{u} \right) (1 - \beta^2)^{-1/2} P_{\text{ТМ}}, \quad (22)$$

$$P'_{\text{ТЕ}} = \left( 1 - \beta \frac{u}{c} \right) \left( 1 - \beta \frac{c}{u} \right) (1 - \beta^2)^{-1/2} P_{\text{ТЕ}}.$$

В итоге в сопровождающей системе отсчета с  $\beta = u/c$  вектор Пойнтинга обращается в нуль ( $P'_{\text{ТМ}} = 0$ ,  $P'_{\text{ТЕ}} = 0$ ), т. е. транспортировка энергии прекращается и аккумулированная электромагнитная энергия *останавливается*, а фотоны в волноводе оказываются *покоящимися*. При дальнейшем увеличении скорости штрихованной системы ( $\beta > u/c$ ) поток энергии меняет знак и обращается вспять. Эта картина в точности повторяет результат разд.2, полученный при анализе поведения постоянной распространения  $k$ .

## Заключение

Таким образом, в дополнение к выводам работы [1] о массоподобном поведении фотонов реальных электромагнитных полей в разнообразных динамических ситуациях следует отметить, что ненулевая масса покоя фотона обнаруживается при его чисто кинематической *остановке* в результате релятивистского преобразования координат.

Важно подчеркнуть, что, несмотря на абсолютную, по-видимому, экспериментальную неотличимость этой фотонной массы покоя от инертной и тяжелой массы в стандартном понимании, вряд ли можно массу покоя считать имманентным свойством фотона, подобным неизменным свойствам массивных частиц, поскольку масса покоя фотона зависит от внешних условий (способа возбуждения электромагнитного поля, граничных условий и т. п.; например, масса изменяется по мере перемещения вдоль волновода с переменным по длине сечением).

Полученные результаты имеют скорее эвристическое значение, демонстрируя способ приобретения массы покоя частицами, изначально принадлежащими к безмассовым полям, без априорного введения понятия массы.

И наконец, попутно отметим возможность реального лабораторного проведения еще одного релятивистского эксперимента, на сей раз в рамках общей теории относительности. Речь идет о «настошной черной дыре» [1], наблюдению которой на опыте препятствует неустранимое возрастание затухания волны в волноводе по мере приближения к критическим явлениям, что сопровождается утратой последними резкого порогового характера. Это препятствие может быть устранено компенсацией затухания посредством введения в волновод усиливающей среды с шириной полосы усиления, заметно превышающей отстройку частоты волны от критической частоты.

1. Ривлин Л.А. *УФН*, **167**, 309 (1997).
2. Де Бройль Л. *Электромагнитные волны в волноводах и полых резонаторах* (М., ГИИЛ, 1948).

**L.A.Rivlin. Relativistic kinematics of the electromagnetic fields of a waveguide mode.**

It is shown that when a waveguide wave is observed from a co-moving frame of reference, which moves with a velocity equal to the group wave velocity, the wave propagation comes to a halt and the electromagnetic energy contained in the waveguide proves to be immobile. The equivalent to this motionless energy is a nonzero rest mass of photons in a waveguide, the mass coinciding with that which manifests itself in dynamic experiments.

---

## БИБЛИОГРАФИЯ

---

## Рецензия на книгу М.Д.Галанина «Люминесценция молекул и кристаллов» (М., Физический институт им. П.Н.Лебедева РАН, 1999)

**М.В.Фок**

В книге М.Д.Галанина «Люминесценция молекул и кристаллов», выпущенной Физическим институтом им. П.Н.Лебедева РАН в 1999 г., сделана попытка в сжатом виде дать основные сведения о физике люминесценции. Автор прослеживает историю развития представлений о люминесценции и вводит основные ее характеристики. Рассматриваются спектры свечения и возбуждения, квантовый выход, длительность свечения, степень поляризации. Большое внимание уделяется принципиальным вопросам, например отличию люминесценции от других видов вторичного излучения, различию между средней

длительностью возбужденного состояния молекул и длительностью их послесвечения в условиях тушения посторонними молекулами. Подробно анализируются результаты экспериментальных работ по люминесценции молекул, примесных центров в кристаллах, экситонному механизму люминесценции.

К достоинствам книги следует отнести то, что она написана хорошим языком и без излишних подробностей. Однако отсутствие подробностей иногда заставляет читателя основательно подумать, чтобы понять и усвоить прочитанное.

---

Физический институт им. П.Н.Лебедева РАН, Россия, 117924 Москва, Ленинский просп., 53

Поступила в редакцию 11 января 2000 г.

---